



УДК 577.112.82.088.53:543.422.25

ПОЛУЧЕНИЕ В *E. coli* И ^{19}F -ЯМР ИССЛЕДОВАНИЕ 5-ФТОРТРИПТОФАНСОДЕРЖАЩЕГО Н-КОНЦЕВОГО ДОМЕНА α -СУБЪЕДИНИЦЫ АЦЕТИЛХОЛИНОВОГО РЕЦЕПТОРА *Torpedo californica*

© 2003 г. Т. А. Алексеев[#], Н. И. Дергоусова, Е. Д. Шибанова, Е. А. Азеева,
Е. В. Крюкова, Т. А. Балашова, П. В. Дубовский, А. С. Арсеньев, В. И. Цетлин

Институт биоорганической химии им. М.М. Шемякина и Ю.А. Овчинникова РАН, 117997 ГСП,
Москва, В-437, ул. Миклухо-Маклая, 16/10

Поступила в редакцию 05.06.2002 г. Принята к печати 30.07.2002 г.

С использованием соответствующего фрагмента кДНК и выращивания клеток *Escherichia coli* на синтетической среде с добавкой 5-фтортриптофана получен белок, отвечающий экстрацеллюлярному домену (остатки 1–209) α -субъединицы никотинового ацетилхолинового рецептора из электрического органа *Torpedo californica*. Наличие фрагмента (His)₆, предшествующего последовательности 1–209, позволило провести очистку белка, выделенного из тел включения, на Ni-NTA-агарозе. Анализ гидролизата белка с помощью ^{19}F -ЯМР показал, что включение остатков 5-фтортриптофана составило ~50%. Спектр белка, подвергнутого восстановлению в денатурирующих условиях и последующему реокислению в разбавленном растворе в присутствии 0.05% SDS, характеризуется достаточным разрешением, что позволило провести частичное отнесение сигналов ^{19}F с использованием мутанта Trp60Phe. Способность полученных доменов специфически связывать α -нейротоксины змей показана с использованием радиоиодированного α -бунгаротоксина и трифторацетилированного α -кобратоксина.

Ключевые слова: ацетилхолиновый рецептор, рефолдинг, ЯМР-спектр, α -субъединица, фторсодержащий домен рецептора.

ВВЕДЕНИЕ

Никотиновые ацетилхолиновые рецепторы (АХР) – лигандуправляемые каналы и подразделяются на две основные группы: рецепторы мышечного типа и нейрональные (см. обзоры [1–3]). Выводы о пространственной организации всего класса АХР до недавнего времени в значительной мере основывались на данных криоэлектронной микроскопии АХР мышечного типа (см. [4] и приведенные там ссылки), выделяемого в значительных количествах из электрического органа ската *Torpedo californica*. Установлено, что субъединицы этого рецептора (две α - и по одной β -, γ - и δ -субъединице) образуют пентамерный комплекс, вдоль оси которого располагается пронизывающий мембрану ионный канал. Согласно существующим представлениям, каждая субъединица имеет экстрацеллюлярный домен (ЭД), трансмембранный участок, а также цитоплазматический домен. К настоящему

времени получена информация о форме трансмембранных фрагментов, выстилающих канал, а также об элементах вторичной и третичной структуры ЭД [4]. Установление пространственной структуры более высокого разрешения с помощью РСА натолкнулось на трудности получения кристаллов цельного рецептора. В связи с этим представляется целесообразным провести вначале детальный структурный анализ отдельных функциональных доменов АХР.

В ЭД АХР происходит связывание ацетилхолина, а также различных других агонистов и антагонистов. Следует отметить, что ЭД α -субъединиц (или их фрагменты) были достаточно давно получены с помощью гетерологичной экспрессии в *Escherichia coli* (см., например, [5]), как правило, в виде тел включения. Изучение пространственных и функциональных характеристик этих белков требовало проведения их денатурации с последующей ренатурацией. С помощью спектроскопии КД в ряде зарубежных лабораторий, а также в нашем институте была определена вторичная структура белков, отвечающих ЭД α -субъединиц мышечного АХР мыши [6] и рецептора *T. californica* [7–9], изучено связывание этими доменами токсинов [6–9] и моноклональных

Сокращения: IPTG – изопропил- β -D-тиогалактопиранозид; α -Bgt – α -бунгаротоксин; NTA – нитрилоприацетат; Trp(F) – 5-фтортриптофан; АХР – ацетилхолиновый рецептор; РСА – рентгеноструктурный анализ; ЭД – экстрацеллюлярный домен.

[#] Автор для переписки (тел.: (095) 330-73-74; эл. почта: t_alex@freemail.ru).

антител [8, 10]. При этом стала очевидной необходимость оптимизации условий сборки белка, предотвращения образования агрегатов при достижении достаточно высоких концентраций белка, необходимых для изучения пространственной структуры методом РСА или ЯМР. В этой связи мы решили ввести в ЭД α -субъединицы АХР *T. californica* (остатки 1–209) атомы фтора в составе остатков Trp(F), с целью использовать спектроскопию ^{19}F -ЯМР для анализа получаемых продуктов и контроля за рефолдингом. Выбор Trp(F) объясняется тем, что в ЭД имеется восемь остатков Trp (в положениях 60, 67, 86, 118, 149, 176, 184 и 187), которые охватывают значительную часть аминокислотной последовательности ЭД.

РЕЗУЛЬТАТЫ И ОБСУЖДЕНИЕ

Получение *N*-концевого домена α -субъединицы ацетилхолинового рецептора *T. californica* и его мутанта *Trp60Phe*, содержащих остатки 5-фторотриптофана

В работе были использованы конструкции, созданные на основе векторов pQE30-серии, использованных ранее для получения соответствующего белка, не содержащего атомов фтора [8]. В этом белке последовательности собственно α -субъединицы предшествует (His)₆-фрагмент, позволяющий проводить очистку белка на Ni-NTA-агарозе. Этот фрагмент, очевидно, не влияет существенно на структурно-функциональные свойства белка, поскольку его токсинсвязывающая способность и спектры КД были практически такими же, как и для белка, несущего (His)₆-маркер на *C*-конце последовательности 1–209 [8].

Методом сайт-направленного мутагенеза была проведена замена Trp60Phe. ДНК, полученная в результате ПЦР, была клонирована в вектор pQE30. Правильность полученных конструкций подтверждена секвенированием по методу Сенгера.

Поскольку фтораминокислоты токсичны для клеток *E. coli* (см. обзоры [11, 12]), потребовался подбор штаммов и условий выращивания, которые позволили бы добиться компромисса между приемлемыми выходами биомассы и достаточно высокими уровнями включения остатков Trp(F) (рис. 1). В результате было найдено оптимальное количество добавляемого в среду Trp(F) (порядка 100 мкМ) и выбраны подходящие клетки (AD494), в которых выходы биомассы достигали ~60 мг/л культуры, а включение Trp(F) в расчете на восемь остатков триптофана в ЭД составляло ~50%. В отдельных опытах были достигнуты и более высокие уровни включения (60–75%), однако отмечались и случаи, когда включение Trp(F) практически отсутствовало. Включение ~50% достигалось наиболее часто, и именно с такими

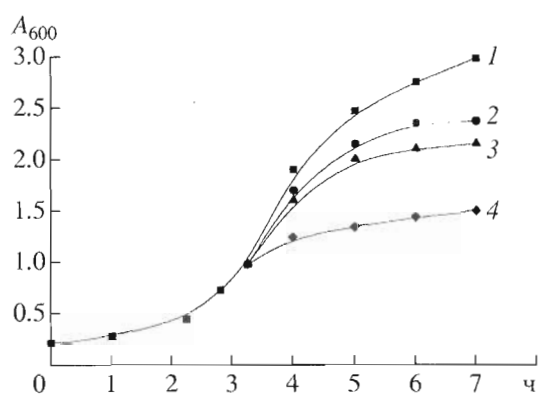


Рис. 1. Рост клеток *E. coli* AD494 в отсутствие (1) и в присутствии в питательной среде Trp(F) в концентрации 10^{-5} (2), 10^{-4} (3), 10^{-3} М (4).

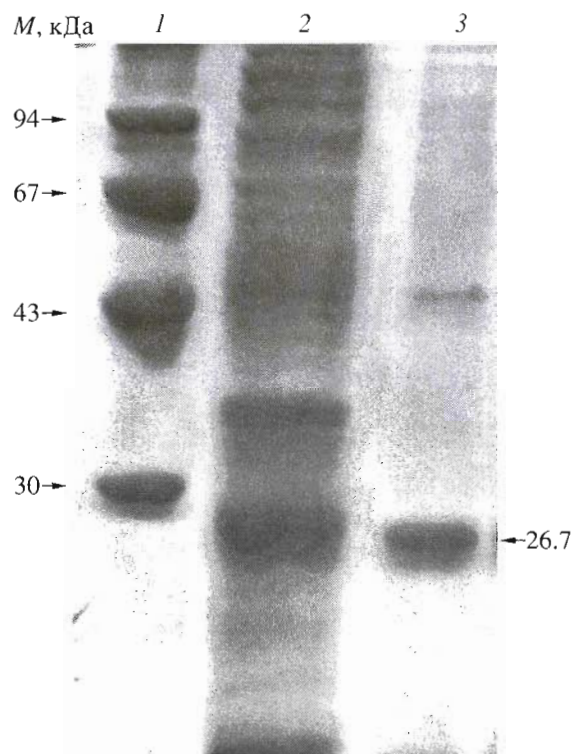


Рис. 2. Контроль за очисткой Trp(F)-содержащего белка α (1–209)F с помощью электрофореза в 12% полиакриламидном геле в восстанавливающих условиях (100 мМ β -меркаптоэтанол): 1 – белковые стандарты, 2 – клеточный лизат, 3 – белок, выделенный аффинной хроматографией на Ni-NTA-агарозе.

образцами выполнена большая часть ^{19}F -ЯМР-исследований.

Весь целевой белок получен в телях включения. В результате их промывки, последующего растворения в денатурирующих условиях и аффинной хроматографии на Ni-NTA-агарозе был выделен целевой белок, чистота которого составляла ~90% (рис. 2). Аналогичным образом был

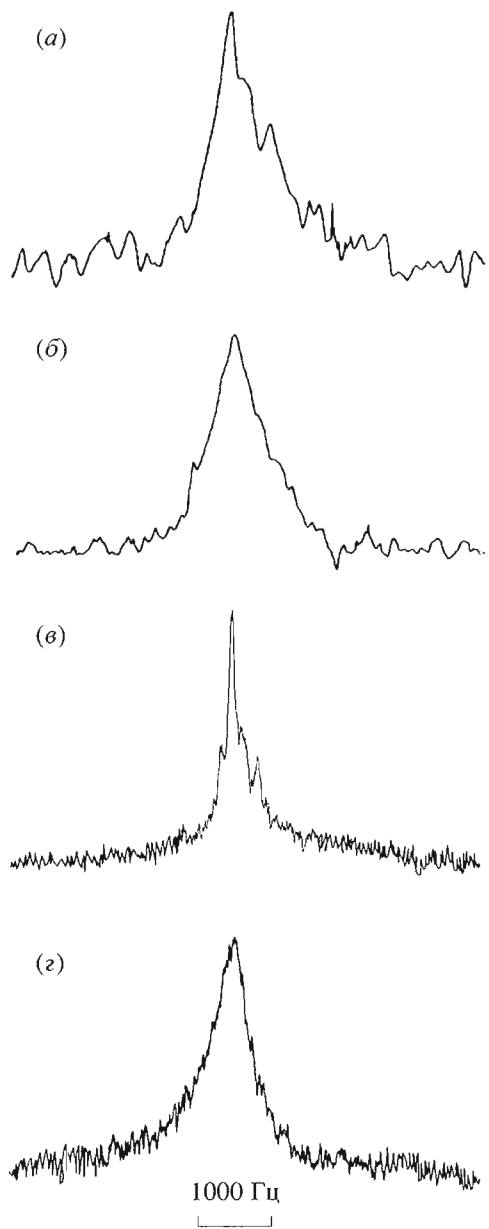


Рис. 3. Спектры ^{19}F -ЯМР белка $\alpha(1-209)\text{F}$ в 6 М мочевине (а), в водном растворе (б), в присутствии 2% SDS и 100 мМ β -меркаптоэтанола (в), в 50 мМ Трис-Н_аСl-буфере, рН 8.0, в присутствии 0.05% SDS (г). Концентрация белка ~3.5 мг/мл.

получен Trp60Phe-мутант. Белок ($M_r \sim 26700$), отвечающий ЭД природной α -субъединицы, и Trp60Phe-мутант обозначены соответственно как $\alpha(1-209)\text{F}$ и [Trp60Phe]- $\alpha(1-209)\text{F}$.

^{19}F -ЯМР-исследования

Для определения уровня включения остатков Trp(F) проводили кислотный гидролиз полученных белков в условиях минимальной деструкции остатков триптофана [13] и сравнивали со спектрами

^{19}F -ЯМР водных растворов свободного 5-фтортриптофана, а также 5-фтортриптофана, инкубированного в условиях гидролиза. С учетом наличия в белках восьми остатков триптофана, степень включения для различных препаратов составляла 50–75%.

На рис. 3а приведен ^{19}F -ЯМР-спектр белка $\alpha(1-209)\text{F}$ в 6 М мочевине. После удаления мочевины с помощью диализа характер спектра мало меняется (рис. 3б): оба спектра представляют собой широкий сигнал (полужирина 700 Гц), очевидно, являющийся суперпозицией сигналов от разных остатков Trp(F) в белке с достаточно малой дисперсией химических сдвигов (~1.0 м.д.). Поскольку ранее в аналогичном домене гель-хроматография образцов в водных средах выявила, наряду с мономером, присутствие димеров и форм с более высокими молекулярными массами [8], можно предположить, что одной из причин широких сигналов является агрегация белка. В более жестких денатурирующих условиях (2% SDS, 100 мМ β -меркаптоэтанол) сигналы становятся более узкими и разрешаются в спектре (рис. 3в). В последнем случае имитируются условия электрофореза в полиакриламидном геле в присутствии SDS, в которых белок находится преимущественно в мономерной форме (см. рис. 2).

Данные гель-хроматографии показали, что существенного снижения доли агрегатов можно добиться и с помощью значительно меньших концентраций SDS, не превышающих 0.1%. Подобные концентрации SDS не являются полностью денатурирующими. Это следует из полученных ранее спектров КД в водных буферах и в присутствии 0.2% SDS для домена 1–209, не содержащего атомов фтора [8], а также из литературных данных о том, что добавки небольших количеств SDS (~0.02%) к выделенной в денатурирующих условиях α -субъединице рецептора *T. californica* или к синтетическим фрагментам ЭД способствовали ренатурации и улучшению связывания α -бунгаротоксина [14, 15]. Поэтому казалось целесообразным снять спектр ^{19}F -ЯМР при концентрации SDS $\leq 0.1\%$. В присутствии 0.05% SDS (рис. 3г) сигнал в спектре ^{19}F -ЯМР становится более узким по сравнению со спектрами, приведенными на рис. 3а и 3б, однако характер спектра существенным образом не изменяется.

Мы решили проследить, какое влияние на вид спектров окажет варьирование условий реофолдинга. С этой целью образец, для которого был получен спектр, представленный на рис. 3г, был подвергнут восстановлению в денатурирующих условиях, после чего была проведена ренатурация при высоком разбавлении в присутствии 0.05% SDS. При этом убыль свободных SH-групп контролировали по методу Эллмана [13]. Как

видно из рис. 4 a , полученный образец дает значительно лучше разрешенный спектр.

Представлялось целесообразным проверить возможность упрощения спектра при использовании мутантов, имеющих меньшее число остатков Trp(F). На рис. 4 b приведен спектр белка [Trp60Phe]- α (1–209)F, который получен аналогично домену “дикого типа”, т.е. выделен с помощью аффинной хроматографии на Ni-NTA-агарозе, а затем подвергнут восстановлению в денатурирующих условиях и последующему рефолдингу в присутствии 0.05% SDS. В этом спектре имеются отличия от спектра исходного белка, которые могут быть обусловлены как исчезновением сигнала остатка Trp(F)60, так и снятием его возможного влияния на химические сдвиги сигналов других пространственно сближенных с ним остатков Trp(F) (подобные эффекты наблюдались, например, ранее для трифторацетилированных производных нейротоксина II [16]).

Спектры белков α (1–209)F и [Trp60Phe]- α (1–209)F в присутствии 2% SDS и α -меркаптоэтанола (рис. 5 a , 5 b), т.е. в условиях, когда эти белки, согласно данным электрофореза (рис. 2), находятся преимущественно в виде мономеров, сходны и состоят из четырех перекрывающихся сигналов. Регистрация спектров в одинаковых условиях позволила сравнить их интегральные интенсивности и получить дифференциальный спектр (рис. 5 c). С учетом количества остатков триптофана в белке и в предположении

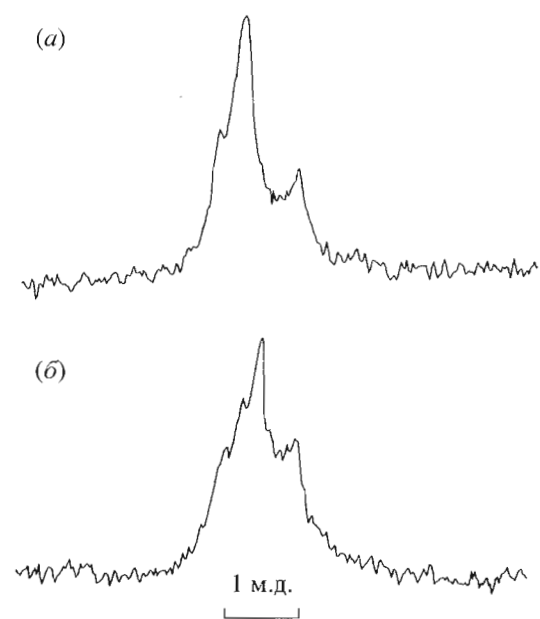


Рис. 4. Спектры ^{19}F -ЯМР белков α (1–209)F (a) и [Trp60Phe]- α (1–209)F (b) после повторной сборки в присутствии 0.05% SDS (50 мМ Трис-НCl, pH 8.0).

равномерного включения фтора в разные остатки триптофана, можно полагать, что сигнал в спектре рис. 5 c отвечает остатку Trp(F)60. Следует отметить, что повторный рефолдинг в присутствии 0.05% SDS, о полезном эффекте которого свидетельствуют приведенные данные ^{19}F -ЯМР

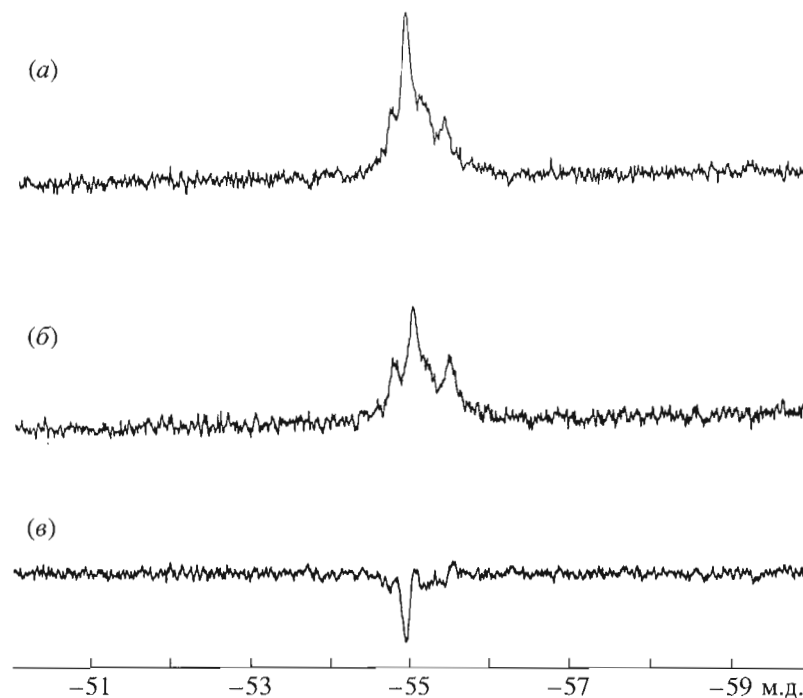


Рис. 5. Спектры ^{19}F -ЯМР белков α (1–209)F (a) и [Trp60Phe]- α (1–209)F (b), снятые в присутствии 2% SDS и 100 мМ β -меркаптоэтанола. (c) – разностный спектр (b) и (a). Химические сдвиги указаны относительно CF_3COOH (10^{-5} М).

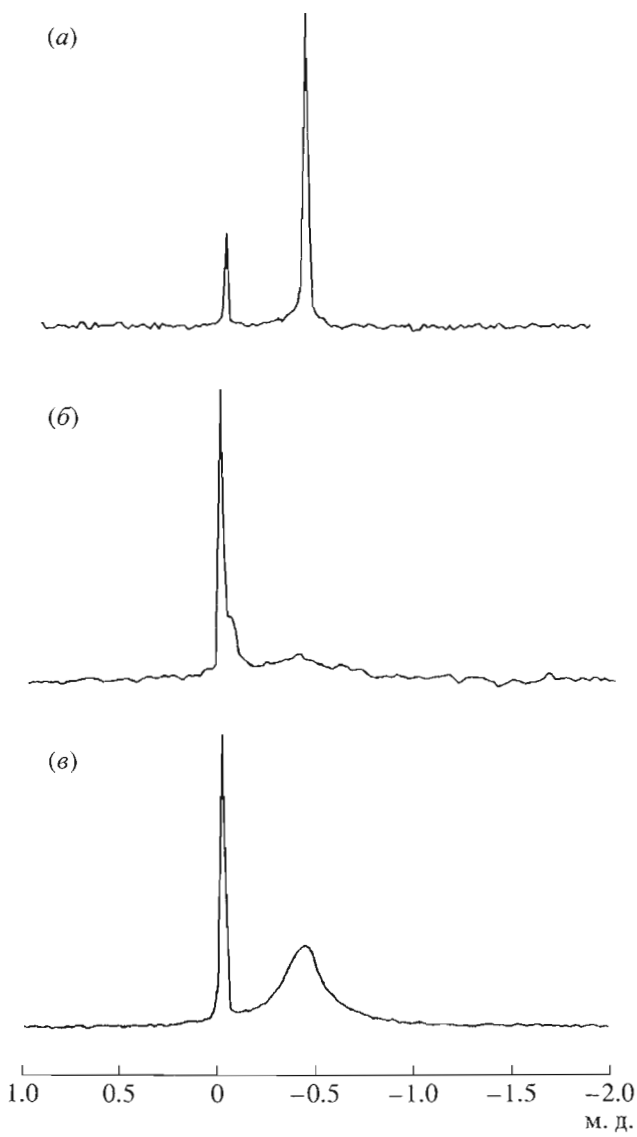


Рис. 6. Спектр ^{19}F -ЯМР $[\text{CF}_3\text{CO}-\text{Lys}^{23}]\text{-}\alpha$ -кобратоксина в свободном виде (а) и в присутствии белка $\alpha(1-209)\text{F}$ в соотношении 1 : 1 (б) и 1 : 2 (в) (приведена область сигналов CF_3CO -группы). (а) водный раствор токсина 0.3 мг/мл, химический сдвиг указан относительно CF_3COOH (10^{-5} М); острый сигнал при 0.0 м.д. здесь и на спектрах (б) и (в) принадлежит следам противоионов CF_3COO^- в токсине, лиофилизованном после ВЭЖХ в градiente ацетонитрила в присутствии 0.1% CF_3COOH .

(рис. 3г), был недавно использован нами при получении мономерной формы ЭД α 7-субъединицы нейронального АХР [17] (для этого ЭД характерна в еще большей степени, чем для ЭД α -субъединицы АХР *Torpedo*, склонность к агрегации).

Опыты с использованием радиоактивно меченного α -бунгаротоксина (α -Bgt) показали, что ^{19}F -содержащий домен $\alpha(1-209)\text{F}$ и его Trp60Phe-мутант связывают токсин с $K_d \sim 100$ нМ (данные не приведены), подобно полученному ра-

нее соответствующему белку, не содержащему атомов фтора [8]. Взаимодействие белков с α -нейротоксинами было проанализировано также методом ^{19}F -ЯМР с регистрацией как сигнала трифторацетилированного производного α -кобратоксина (рис. 6), так и сигналов Trp(F)-содержащего белка $\alpha(1-209)\text{F}$ в свободном состоянии и в комплексе. Преимущество ^{19}F -ЯМР-титрования по сравнению с радиолигандным анализом состоит в отсутствии необходимости удалять промывками избыток токсина, что может приводить к занижению определяемого числа центров связывания, если прочность комплекса недостаточно высока.

Практически полное уширение сигнала ^{19}F трифторацетильной группы $[\text{CF}_3\text{CO}-\text{Lys}^{23}]\text{-}\alpha$ -кобратоксина (полученного, как описано в работе [18]) при соотношении токсин–домен 1 : 1 (рис. 6б) и появление его вновь при соотношении 2 : 1 (рис. 6в) указывает на образование стехиометрического комплекса. Однако добавление одного эквивалента токсина к раствору домена вызывало лишь очень небольшие изменения в области сигналов остатков Trp(F) (данные не приведены).

Полученные в настоящей работе результаты можно просуммировать следующим образом: нам удалось включить остатки 5-фортроптофана в экстрацеллюлярный домен α -субъединицы ацетилхолинового рецептора *T. californica* и найти условия, в которых ^{19}F -ЯМР-спектр соответствующего белка характеризуется достаточным разрешением. Показана принципиальная возможность отнесения сигналов в ^{19}F -ЯМР-спектрах фторированного белка с использованием мутантов. Согласно данным радиолигандного анализа для иодированных и ^{19}F -ЯМР для трифторацетилированных производных, полученные домены обладают способностью специфически связывать α -нейротоксины змей. Для того чтобы на основании сигналов остатков 5-фортроптофана в спектрах ^{19}F -ЯМР можно было получить информацию о пространственной структуре экстрацеллюлярного домена и участках этого домена, вовлеченных в связывание α -нейротоксинов и других лигандов, потребуются дальнейшие усилия по увеличению степени включения фторсодержащих аминокислот и оптимизации условий денатурации белка.

Актуальность получения и исследования ЭД субъединиц фармакологически различных типов АХР подтверждают появившиеся во время выполнения настоящей работы рентгеноструктурные данные для ацетилхолинсвязывающего белка из улитки *Lymnaea stagnalis*, который может рассматриваться как прототип ЭД АХР [19], а также новое сообщение [20] о получении ЭД α -субъединицы мышечного АХР человека для функциональных и структурных исследований.

ЭКСПЕРИМЕНТАЛЬНАЯ ЧАСТЬ

Клонирование кДНК, соответствующей *N*-концевому домену (аминокислотные остатки 1–209) α -субъединицы ацетилхолинового рецептора *T. californica*. Соответствующий фрагмент кДНК получали методом ПЦР, используя в качестве матрицы кДНК полноразмерной α -субъединицы [8]. Для амплификации были использованы два олигонуклеотидных праймера ($5' \rightarrow 3'$):

AA AAA GGA TCC GAA CAT GAA ACA CGT TTG GTT GCT AAT (*N*-концевой) и AAA AAA AGC TTA ACG CTG CAT GAT TTT ATG GTA GGT GAT A (C-концевой). Полученный в результате ПЦР фрагмент ДНК обрабатывали рестриктазами *Bam*H/*Hind*III (сайты подчеркнуты) и лигировали в плазмидный вектор pQE-30 (Qiagen), обработанный соответствующими ферментами рестрикции.

Мутагенез. Замену остатка Trp на Phe в 60-положении проводили методом ПЦР, используя в качестве матрицы вектор α (1–209)pQE [8]. Последовательности мутагенных праймеров содержат рестриктный сайт *Clal* (подчеркнуто):

GG CAG CAA **TTT ATC GAT** GTG AGG CTT CGC (прямой), GCG AAG CCT CAC **ATC GAT** AAA TTG CTG CC (обратный).

Праймеры содержат замены нуклеотидов: вместо триплета TGG, кодирующего Trp60, находится последовательность TTT (Phe) (прямой праймер) и соответственно вместо CCA – последовательность AAA (обратный праймер).

В качестве фланкирующих использовали те же праймеры, что и для получения немутантного рекомбинантного белка. Полученный в результате ПЦР фрагмент ДНК лигировали в плазмидный вектор pQE-30 по рестриктным сайтам *Bam*H/*Hind*III.

Последовательности полученных клонированных фрагментов были секвенированы по методу Сенгера. Клонирование и мутагенез проводили в клетках *E. coli* штамма JM109. Для экспрессии использовали штамм AD494.

Получение белков α (1–209)F и [Trp60Phe]- α (1–209)F. Клетки *E. coli* AD494, содержащие рекомбинантную плазмиду α (1–209)pQE [8], выращивали в среде LB до оптического поглощения $A_{600} = 1$. Полученную биомассу центрифugировали при 3000 об/мин в течение 15 мин и осадок два раза промывали средой M9. Клетки суспендировали в M9 из расчета получить оптическое поглощение $A_{600} = 1$, затем добавляли 20 мг 5F-L-триптофана с конечной концентрацией 100 мкМ, биотин и тиамин по 0.1 мг (100 мкл р-ра 1 мг/мл) на 200 мл клеточной супензии. Выращивали 15 мин при 37°C, затем вносили IPTG до 1 мМ и еще через 4 ч центрифугировали. Осадок клеток суспендировали в 4 мл буфера (10 мМ Трис-HCl, pH 8.0, 1 мМ EDTA), добавляли 1 мг лизоцима

(100 мкл р-ра 10 мг/мл), выдерживали 30 мин на льду, затем инкубировали 30 мин при 37°C с 4 мг дезоксихолевой кислоты (сuspензия в 1 мл воды) и еще 10 мин с MgCl₂ (конечная концентрация 20 мМ) и 20 мкг ДНК-азы. К полученной супензии добавляли 20 мл буфера A1 (10 мМ Трис-HCl, pH 8.0) и обрабатывали ультразвуком (5 имп. по 1 мин). Центрифугировали 10 мин при 10000 об/мин и осадок промыли 20 мл буфера A1. Затем осадок растворяли в 10 мл буфера A2 (50 мМ Трис-HCl, pH 8.0, 0.2 М NaCl, 5 мМ имидазол, 8 М мочевина) и нанесли на 5 мл Ni-NTA-агарозы. Промыли тем же буфером, а затем специфически связанный белок смыли элюирующим буфером A2 с 1 М имидазолом.

Рефолдинг полученного таким образом белка α (1–209)F проводили с помощью медленного диализа против 50 мМ Трис-HCl-буфера, pH 8.0, в котором ступенчато понижали концентрацию мочевины (в условиях, использованных ранее [8] для белка, не содержащего фторированных аминокислот).

Мутантный белок [Trp60Phe]- α (1–209)F получен аналогичным образом.

Повторный рефолдинг белков α (1–209)F и [Trp60Phe]- α (1–209)F. Образцы белков (1.0 мг/мл) в 5 мл буфера (50 мМ Трис-HCl, pH 8.0) диализовали против 50 мМ Трис-HCl, pH 9.5 с 8 М мочевиной, затем добавляли дитиотрейт до конечной концентрации 100 мМ и инкубировали 10 ч при 20°C. После этого раствор медленно по каплям при постоянном помешивании вносили в 50 мл 50 мМ Трис-HCl-буфера, pH 8.0, содержащего 0.05% SDS, и оставили на 20 ч при 7°C. Белок концентрировали ультрафильтрацией на мемbrane UM10 и подвергли диализу против 20 мМ Трис-HCl, pH 8.0, с 0.05% SDS.

Радиолигандный анализ взаимодействия доменов с α -нейротоксинами. К растворам белков (концентрация 500 нМ) в 50 мМ Трис-HCl-буфере, pH 8.0, добавляли [¹²⁵I] α -Bgt [8] в том же буфере до конечной концентрации 50–2000 нМ и инкубировали 1 ч при 30°C. Т.е. растворы белка, которые содержали 0.05% SDS, перед проведением радиолигандного анализа разбавляли водным буфером так, что конечная концентрация SDS не превышала 0.001% и не оказывала влияния на связывание. Для определения неспецифического связывания в инкубационную смесь добавляли 1000-кратный избыток немеченого α -Bgt (Sigma). Далее смесь наносили на фильтры DE-81, которые затем промывали тем же буфером в присутствии 0.1% Тритон X-100, высушивали на воздухе и измеряли их радиоактивность на γ -счетчике.

ЯМР-исследования. Одномерные спектры ^{19}F -ЯМР получены на спектрометре Avance DRX 500 (Bruker, Германия) с рабочей частотой на фторе 470.56 МГц без развязки спин-спинового взаимо-

действия $^{19}\text{F}-\text{H}$ при температуре 30°C. Для восстановления равновесного состояния системы ядерных спинов была использована задержка $\sim d_1$ 2.0 с. Данные ЯМР обрабатывали с помощью стандартного программного обеспечения XWINNMR 2.6 (Bruker). Концентрации белков в растворах для снятия спектров лежали в диапазоне 1.5–3.5 мг/мл.

Авторы выражают признательность за ценные советы д-ру К. Метфесслю.

Работа поддержана фирмой Байер (Леверкузен, Германия), а также грантами РФФИ № 00-04-55024 и Миннауки № 96-03-08.

СПИСОК ЛИТЕРАТУРЫ

1. Changeux J.P., Edelstein S.J. // Neuron. 1998. V. 21. P. 959–980.
2. Lindstrom J. // Handbook Exper. Pharmacol. 2000. V. 144. P. 101–162.
3. Hucho F., Tsetlin V., Machold J. // Eur. J. Biochem. 1996. V. 239. P. 539–557.
4. Miyazawa A., Fujiyoshi Y., Stowell M., Unwin N. // J. Mol. Biol. 1999. V. 288(4). P. 765–786.
5. Barkas T., Mauron A., Roth B., Alliod C., Tzartos S., Ballivet M. // Science. 1987. V. 235. P. 77–80.
6. West A.P., Bjorkman P.J., Dougherty D.A., Lester H.A. // J. Biol. Chem. 1997. V. 272. P. 25468–25473.
7. Крикошин А.В., Куделина И.А., Алексеев Т.А., Шевалье А.Ф., Уткин Ю.Н., Цемлин В.И. // Биоорган. химия. 1998. Т. 24. С. 930–932.
8. Alexeev T., Krivoshein A., Shevalier A., Kudelina I., Telyakova O., Vincent A., Utkin Y., Hucho F., Tsetlin V. // Eur. J. Biochem. 1999. V. 259. P. 310–319.
9. Schrattenholz A., Pfeiffer S., Pejovic V., Rudolph R., Godovac-Zimmermann J., Maelicke A. // J. Biol. Chem. 1998. V. 273(49). P. 32393–32399.
10. Tsouloufis T., Mamalaki A., Remoundos M., Tzartos S.J. // Int. Immunol. 2000. V. 12. P. 1255–1265.
11. Gerig J.T. // Fluorine Magnetic Resonance in Biochemistry. 1978.
12. Gerig J.T. // Progress in NMR Spectroscopy. 1994. V. 26. P. 293–370.
13. Практическая химия белка / Ред. А. Дарбре. М.: Мир, 1989. 623 с.
14. Tzartos S.J., Changeux J.P. // EMBO J. 1983. V. 2. P. 381–387.
15. Donnelly-Roberts D.L., Lentz T.L. // Mol. Brain. Res. 1993. V. 19. P. 55–61.
16. Arseniev A.S., Utkin Yu.N., Pashkov V.S., Tsetlin V.I., Ivanov V.T., Bystrakov V.F., Ovchinnikov Yu.A. // FEBS Lett. 1981. V. 136. P. 269–274.
17. Tsetlin V.I., Dergousova N.I., Azeeva E.A., Kryukova E.V., Kudelina I.A., Shibanova E.D., Kasheverov I.E., Methfessel C. // Eur. J. Biochem. 2002. V. 269. P. 2801–2809.
18. Кондаков В.И., Арсеньев А.С., Уткин Ю.Н., Карлсон Е., Гуревич А.З., Цемлин В.И., Быстров В.Ф., Иванов В.Т. // Биоорган. химия. 1984. Т. 10. С. 869–890.
19. Brejc K., van Dijk W.J., Klaassen R.V., Schuurmans M., van Der Oost J., Smit A.B., Sixma T.K. // Nature. 2001. V. 411. P. 269–276.
20. Yao Y., Wang J., Viroonchatapan N., Samson A., Chill J., Rothe E., Anglister J., Wang Z.Z. // J. Biol. Chem. 2002. V. 277. P. 12613–12621.

5-Fluorotryptophan-Containing N-Terminal Domain of the α -Subunit of the *Torpedo californica* Acetylcholine Receptor: Preparation in *Escherichia coli* and ^{19}F NMR Study

T. A. Alexeev[#], N. I. Dergousova, E. D. Shibanova, E. A. Azeeva, E. V. Kryukova, T. A. Balashova, P. V. Dubovskii, A. S. Arseniev, and V. I. Tsetlin

[#] Phone: +7 (095) 330-7374; e-mail: t_alex@freemail.ru

Shemyakin-Ovchinnikov Institute of Bioorganic Chemistry, Russian Academy of Sciences,
ul. Miklukho-Maklaya 16/10, GSP Moscow, 117997 Russia

A protein corresponding to the extracellular 1–209 domain of the α -subunit of the nicotine acetylcholine receptor from the electric organ of *Torpedo californica* was prepared using the corresponding cDNA domain by culturing *Escherichia coli* cells on a synthetic medium supplemented with 5-fluoro-L-tryptophan. The presence of a (His)₆ fragment preceding the 1–209 sequence allowed purification of the protein isolated from inclusion bodies by affinity chromatography on Ni-NTA Agarose. The incorporation of 5-fluorotryptophan residues was found by ^{19}F NMR to be ~50%. The spectrum of the protein reduced under denaturing conditions and subsequently reoxidized in a dilute solution under denaturing conditions in the presence of 0.05% SDS was sufficiently resolved, which allowed partial assignment of ^{19}F resonances using the Trp60Phe mutant protein. The ability of the prepared domains to specifically bind snake α -neurotoxins was demonstrated with the use of radioiodinated α -bungarotoxin and trifluoroacetylated α -cobratoxin. The English version of the paper: *Russian Journal of Bioorganic Chemistry*, 2003, vol. 29, no. 4; see also <http://www.maik.ru>.

Key words: acetylcholine receptor, refolding, NMR spectrum; α -subunit, fluorine-containing receptor domain